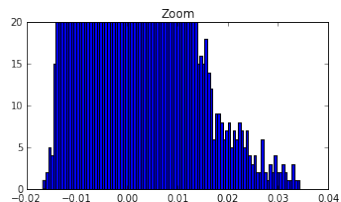
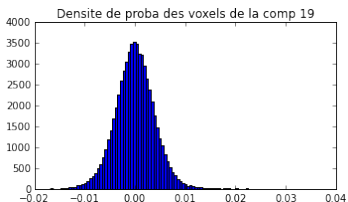
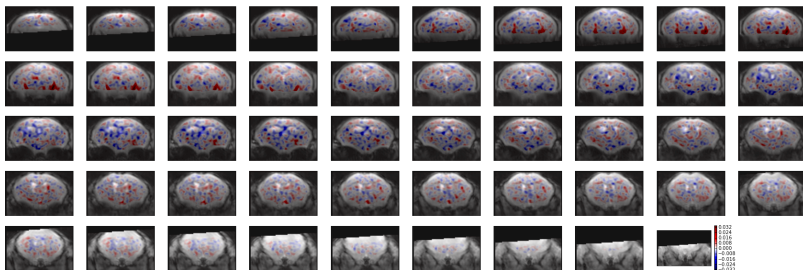


**Seuillage en grande dimension : une histoire de p-valeurs,
de contrôle global des erreurs et de modélisation précise
des données sous \mathcal{H}_0**

Céline Meillier

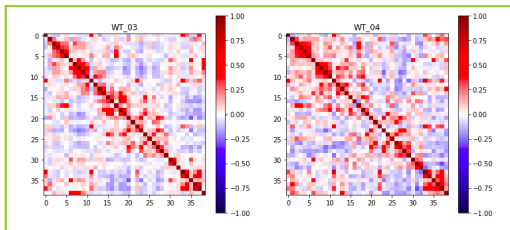
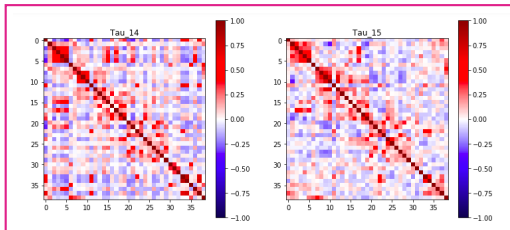
Séminaire IMAGeS, 21 juin 2018

Seuillage de cartes en IRM fonctionnelle : composante ICA



Comparaisons multiples en IRM fonctionnelle : corrélations entre ROIs

Souris Alzheimer

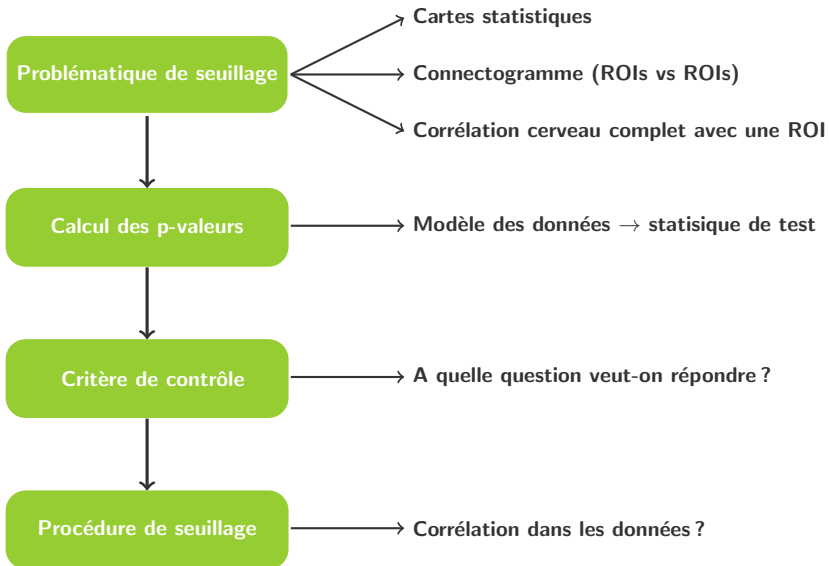


Souris contrôle

Comparaison des
corrélations moyennes

Sélection des couples
de ROIs significati-
vement différentes ?

Contexte en neuroscience/IRMf



Plan de la présentation

1. Introduction

2. Tests multiples et contrôle des erreurs

2.1 Définitions

2.2 FWER

2.3 FDR

3. Apprentissage de la loi des données

3.1 Contexte

3.2 Procédure de σ -clipping par point fixe

3.3 Convergence et consistance des estimateurs

3.4 Performances

4. Conclusion

Plan de la présentation

1. Introduction

2. Tests multiples et contrôle des erreurs

2.1 Définitions

2.2 FWER

2.3 FDR

3. Apprentissage de la loi des données

4. Conclusion

Tests multiples

Définition d'un test :

Soit x une variable à tester et T une statistique de test. La règle de décision associée à T s'écrit :

$$\begin{cases} \mathcal{H}_0 & : & T(x) < \eta & \text{(absence de signal)} \\ \mathcal{H}_1 & : & T(x) \geq \eta & \text{(présence d'un signal),} \end{cases}$$

Tests multiples :

Soit $\{x_1, x_2, \dots, x_n\}$ un ensemble de variables à tester.

On définit pour chaque variable x_i le couple d'hypothèses $\mathcal{H}_0^i / \mathcal{H}_1^i$.

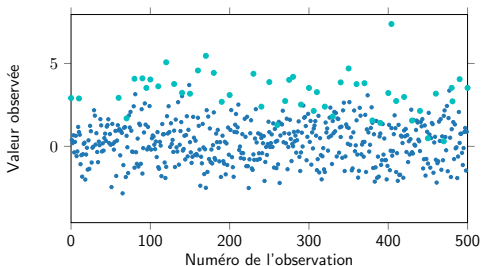
Comment choisir le
seuil de décision ?

Un exemple illustratif

Soit $N = 500$ échantillons simulés indépendamment. A chaque échantillon le modèle d'hypothèses binaire suivant est associé :

$$\begin{cases} \mathcal{H}_0^i & : x_i \sim \mathcal{N}(0, \sigma^2) & \text{(bruit seul)} \\ \mathcal{H}_1^i & : x_i \sim \mathcal{N}(\theta, \sigma^2), \theta > 0 & \text{(source + bruit)} \end{cases}$$

La proportion d'échantillons simulés suivant \mathcal{H}_0 est $\pi_0 = 0.9$ ($n_0 = 450$).



Comment choisir le
seuil de décision ?

P-valeur : définition et interprétation

Définition de la p-valeur

La p-valeur associée à une observation x_i désigne la probabilité pour $T(x)$ d'être au moins aussi extrême que le résultat $T(x_i)$ du test sur l'observation x_i si l'hypothèse \mathcal{H}_0 est vraie.

Pour un test T sur la valeur x_i la p-valeur s'écrit :

$$p_{val}(x_i) = \Pr(T(x) > T(x_i) | \mathcal{H}_0).$$

$$\rightarrow \forall x_i, p_{val}(x_i) \in [0, 1]$$

$$\rightarrow \text{Sous } \mathcal{H}_0, p_{val} \sim \mathcal{U}_{[0,1]}$$

**Suppose \mathcal{H}_0 bien
spécifiée !**

P-valeur : définition et interprétation

Définition de la p-valeur

La p-valeur associée à une observation x_i désigne la probabilité pour $T(x)$ d'être au moins aussi extrême que le résultat $T(x_i)$ du test sur l'observation x_i si l'hypothèse \mathcal{H}_0 est vraie.

Pour un test T sur la valeur x_i la p-valeur s'écrit :

$$p_{val}(x_i) = \Pr(T(x) > T(x_i) | \mathcal{H}_0).$$

$$\rightarrow \forall x_i, p_{val}(x_i) \in [0, 1]$$

$$\rightarrow \text{Sous } \mathcal{H}_0, p_{val} \sim \mathcal{U}_{[0,1]}$$

**Suppose \mathcal{H}_0 bien
spécifiée !**

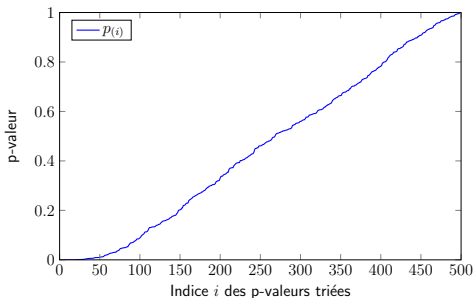
**Quantité indépendante
de la statistique de T !**

**On peut comparer la pva-
leur issue d'un t-test avec
celle issue d'un z-test !**

P-valeur : illustration

Soit $N = 500$ échantillons simulés indépendamment. A chaque échantillon le modèle d'hypothèses binaire suivant est associé :

$$\begin{cases} \mathcal{H}_0^i & : x_i \sim \mathcal{N}(0, \sigma^2) & \text{(bruit seul)} \\ \mathcal{H}_1^i & : x_i \sim \mathcal{N}(\theta, \sigma^2), \quad \theta > 0 & \text{(source + bruit)} \end{cases} .$$



Tests multiples et contrôle des erreurs

Répartition des n tests :

Décision \ Vérité	$\hat{\mathcal{H}}_0$	$\hat{\mathcal{H}}_1$	Total
\mathcal{H}_0	$n_0 - a$	a ← fausses alarmes	n_0
\mathcal{H}_1	$n_1 - b$	b	n_1
Total	$n - R$	R ↑ détections	n

Choix du type de contrôle :

PFA	FWER	FDR
$Pr(\hat{\mathcal{H}}_1 \mathcal{H}_0) \leq \alpha$	$Pr(a \geq 1) \leq \alpha$	$E\left[\frac{a}{R}\right] \leq q$
$a \nearrow$ si $n \nearrow$	n grand	n grand
Contrôle individuel	Conservatif	Contrôle global

FWER : Family wise error rate

Objectif : Contrôler la probabilité de se tromper au moins une fois en dessous d'un seuil α .

Procédures de seuillage des p-valeurs associées aux n tests :

- Bonferroni
- Holm
- Théorie des champs aléatoires : FWER appliqué aux clusters

A utiliser quand veut à tout prix éviter de faire une fausse alarme parmi tous les tests réalisés

FDR : False discovery rate

Objectif : Contrôler la proportion de fausses découvertes en dessous d'un seuil α .

Procédures de seuillage des p-valeurs associées aux n tests :

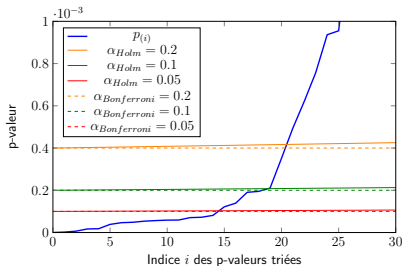
- Benjamini-Hochberg (1995) : tests indépendants,
- Benjamini-Yekutieli (2001) : certains types de corrélations entre les tests,
- Théorie des champs aléatoires : FDR topologique (Chumbley et al. 2009)

Contrôle moins conservatif → on s'autorise une certaine proportion d'erreurs.

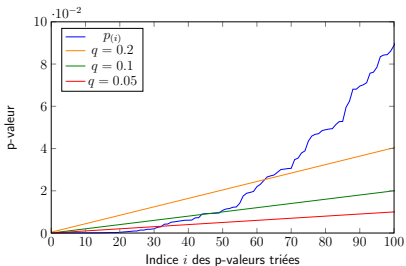
↗ du nombre b de bonnes détections, au prix d'une ↗ de la proportion $\frac{\alpha}{R}$ de fausses découvertes

Un exemple illustratif

**Contrôle du FWER
par Holm et par Bonferroni**



**Contrôle du FDR
par Benjamini-Hochberg**



Plan de la présentation

1. Introduction

2. Tests multiples et contrôle des erreurs

3. Apprentissage de la loi des données

3.1 Contexte

3.2 Procédure de σ -clipping par point fixe

3.3 Convergence et consistance des estimateurs

3.4 Performances

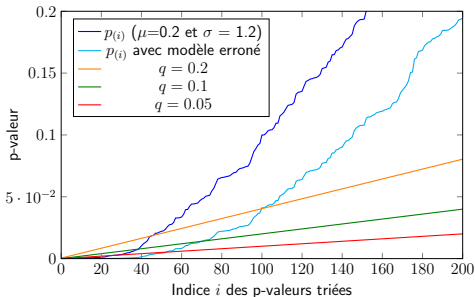
4. Conclusion

Importance de bien modéliser la loi statistique des tests/des données

Calcul des p-valeurs avec un modèle erroné → plus de garantie de contrôler le FDR (ou le critère d'erreur choisi).

Modèle théorique : $\mathcal{H}_0 : x_i \sim \mathcal{N}(0, 1)$

Réalité : $\mathcal{H}_0 : x_i \sim \mathcal{N}(0.2, 1.2)$



Importance de bien modéliser la loi statistique des tests/des données

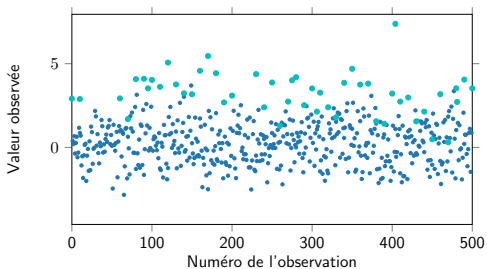
Constats :

- Les modèles théoriques sont parfois éloignés de la réalité des données.
- Les données sont corrélées alors qu'elles sont supposées indépendantes.
- Pour obtenir la loi empirique sous \mathcal{H}_0 il faudrait disposer de données de calibration.

Travaux "récents" :

- Estimation de la loi des données sous \mathcal{H}_0 à partir des données (en présence des échantillons \mathcal{H}_1).
- Comparaison de matrices de corrélation (études de groupe ou longitudinale) : test sur les rangs des corrélations plutôt que sur les valeurs → comment définir la statistique du test ?

Le contexte en image



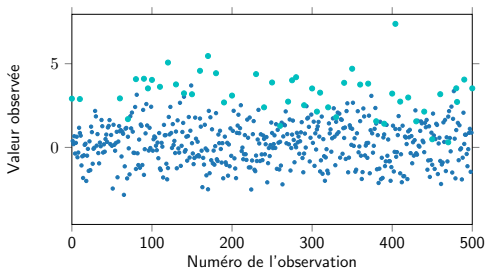
N observations x_i à classer
dans $\mathcal{H}_0/\mathcal{H}_1$

$$\mathcal{H}_0 : x_i \sim \mathcal{N}(\mu_0, \sigma_0)$$

$$\mathcal{H}_1 : x_i \sim \mathcal{N}(\mu_0 + \beta, \sigma_0)$$

$$\mu_0 = 0.2, \sigma_0 = 1.2 \text{ et } \beta = 3$$

Le contexte en image



N observations x_i à classer
dans $\mathcal{H}_0/\mathcal{H}_1$

$$\mathcal{H}_0 : x_i \sim \mathcal{N}(\mu_0, \sigma_0)$$

$$\mathcal{H}_1 : x_i \sim \mathcal{N}(\mu_0 + \beta, \sigma_0)$$

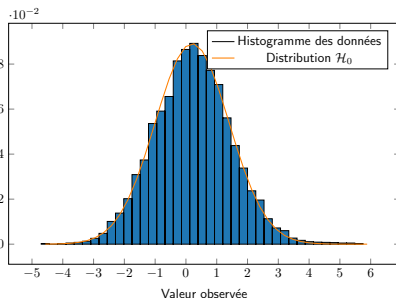
$$\mu_0 = 0.2, \sigma_0 = 1.2 \text{ et } \beta = 3$$

Distribution des données :

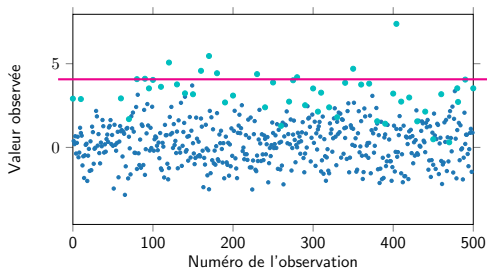
$$f(x) = \pi_0 f_0(x) + \pi_1 f_1(x)$$

$\pi_0 = \text{prop. de données sous } \mathcal{H}_0$

et $\pi_1 = 1 - \pi_0$



Le contexte en image

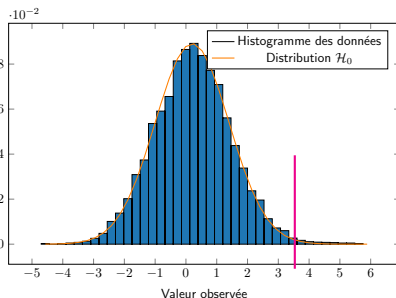


N observations x_i à classer dans $\mathcal{H}_0/\mathcal{H}_1$

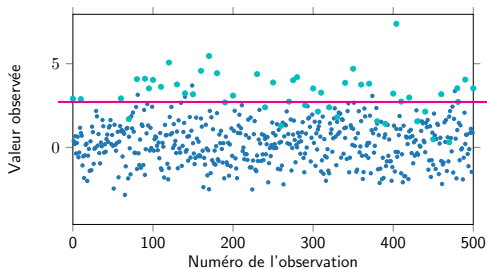
$$\mathcal{H}_0 : x_i \sim \mathcal{N}(\mu_0, \sigma_0)$$

$$\mathcal{H}_1 : x_i \sim \mathcal{N}(\mu_0 + \beta, \sigma_0)$$

$$\mu_0 = 0.2, \sigma_0 = 1.2 \text{ et } \beta = 3$$



Le contexte en image

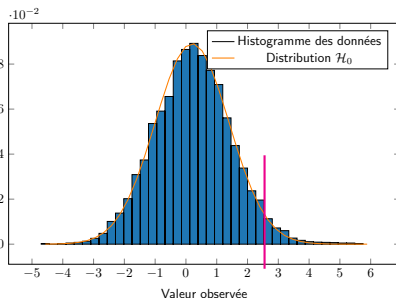


N observations x_i à classer dans $\mathcal{H}_0/\mathcal{H}_1$

$$\mathcal{H}_0 : x_i \sim \mathcal{N}(\mu_0, \sigma_0)$$

$$\mathcal{H}_1 : x_i \sim \mathcal{N}(\mu_0 + \beta, \sigma_0)$$

$$\mu_0 = 0.2, \sigma_0 = 1.2 \text{ et } \beta = 3$$



Caractérisation de la loi sous \mathcal{H}_0

Constat :

Quelle que soit la procédure de seuillage choisie, cela nécessite de connaître la loi des échantillons sous \mathcal{H}_0 ou plus généralement la statistique de test sous \mathcal{H}_0 .

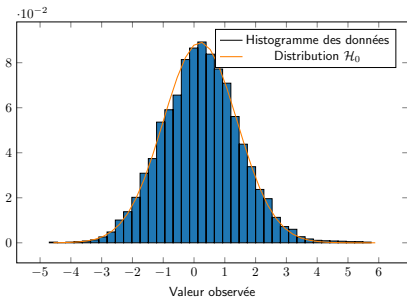
Caractérisation de la loi sous \mathcal{H}_0

Constat :

Quelle que soit la procédure de seuillage choisie, cela nécessite de connaître la loi des échantillons sous \mathcal{H}_0 ou plus généralement la statistique de test sous \mathcal{H}_0 .

Comment fait-on ?

- utilisation d'un modèle empirique (calibration en l'absence de signal)
- utilisation d'un modèle paramétrique pour expliquer les données sous \mathcal{H}_0
ex : loi $\mathcal{N}(\mu_0, \sigma_0)$, μ_0 et σ_0 à estimer.



Etat de l'art des méthodes d'estimation robuste

Modification du modèle statistique du bruit :

- distribution à queue lourde pour modéliser les incertitudes dûes aux échantillons \mathcal{H}_1 .

Etat de l'art des méthodes d'estimation robuste

Modification du modèle statistique du bruit :

- distribution à queue lourde pour modéliser les incertitudes dûes aux échantillons \mathcal{H}_1 .

Modification de la fonction objectif :

- M-estimateurs,
- pénalisation de Huber, etc.

Etat de l'art des méthodes d'estimation robuste

Modification du modèle statistique du bruit :

- distribution à queue lourde pour modéliser les incertitudes dûes aux échantillons \mathcal{H}_1 .

Modification de la fonction objectif :

- M-estimateurs,
- pénalisation de Huber, etc.

Estimation à partir de statistiques d'ordre ou sur des données tronquées

- L-estimateurs,
- σ -clipping : ne converge pas !
- ajustement du mode central avec une régression de Poisson ([Schwartzman 2008]),
- ajustement au sens du maximum de vraisemblance à la distribution des données tronquées (MLE, [Efron 2012]).

Procédure de σ -clipping par point fixe (FRONDE)

Collaborations :

Raphael Bacher



Florent Chatelain



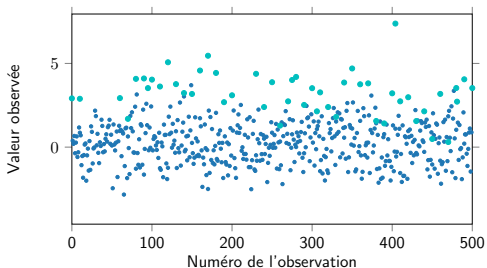
Olivier Michel

Méthode FRONDE : *Fixed-point algorithm for RObust Null Distribution Estimation*

[*Méthode de sigma-clipping par point fixe pour l'estimation de la distribution sous \mathcal{H}_0 dans le cadre de tests multiples*, C.Meillier, R. Bacher, F. Chatelain, O. Michel, GretsI 2017]

Procédure de σ -clipping par point fixe (FRONDE)

Cadre :



N observations x_i à classer
dans $\mathcal{H}_0/\mathcal{H}_1$

$$\mathcal{H}_0 : x_i \sim \mathcal{N}(\mu_0, \sigma_0)$$

$$\mathcal{H}_1 : x_i \sim \mathcal{N}(\mu_0 + \beta, \sigma_0)$$

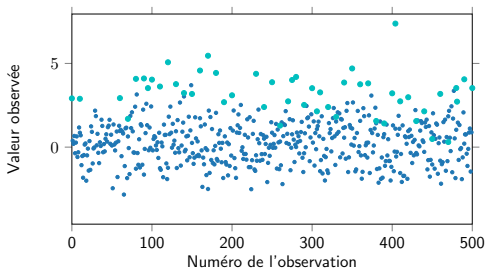
avec $\beta > 0$

Fonction de répartition des données observées

$$F(x) = \pi_0 F_0(x) + \pi_1 F_1(x) \quad (1)$$

Procédure de σ -clipping par point fixe (FRONDE)

Cadre :



N observations x_i à classer
dans $\mathcal{H}_0/\mathcal{H}_1$

$$\mathcal{H}_0 : x_i \sim \mathcal{N}(\mu_0, \sigma_0)$$

$$\mathcal{H}_1 : x_i \sim \mathcal{N}(\mu_0 + \beta, \sigma_0)$$

avec $\beta > 0$

Fonction de répartition des données observées

$$F(x) = \pi_0 F_0(x) + \pi_1 F_1(x) \quad (1)$$

Objectif : estimer F_0 à partir de F (empirique).

$$\rightarrow F_0 \text{ paramétrique : } F_0(x) = \Phi\left(\frac{x - \mu_0}{\sigma_0}\right)$$

Troncature des données

Principe du σ -clipping

- troncature des données à $\pm\kappa\sigma_0$ autour de μ_0 ,
- écarter les échantillons aberrants (\mathcal{H}_1) afin de ne pas biaiser l'estimation de μ_0 et σ_0

Troncature des données

Principe du σ -clipping

- troncature des données à $\pm\kappa\sigma_0$ autour de μ_0 ,
- écarter les échantillons aberrants (\mathcal{H}_1) afin de ne pas biaiser l'estimation de μ_0 et σ_0

Troncature des données dans le cadre de tests à grande échelle

- estimation très robuste : biais faible,
- conservation d'un nombre suffisamment grand de données : faible variance de l'estimateur.

Troncature des données

Fonction de répartition des données après troncature

$$F_t(x) = \frac{F(x) - F(l)}{F(r) - F(l)} \quad (2)$$

avec dans notre cas une troncature symétrique : $l = \mu_0 - \kappa\sigma_0$ et $r = \mu_0 + \kappa\sigma_0$.

Troncature des données

Fonction de répartition des données après troncature

$$F_t(x) = \frac{F(x) - F(l)}{F(r) - F(l)} \quad (2)$$

avec dans notre cas une troncature symétrique : $l = \mu_0 - \kappa\sigma_0$ et $r = \mu_0 + \kappa\sigma_0$.

Postulat (P1) : La probabilité d'observer un échantillon distribué selon \mathcal{H}_1 est nulle sur le domaine de troncature : $F_1(r) = F_1(l) = 0$

Troncature des données

Fonction de répartition des données après troncature

$$F_t(x) = \frac{F(x) - F(l)}{F(r) - F(l)} \quad (2)$$

avec dans notre cas une troncature symétrique : $l = \mu_0 - \kappa\sigma_0$ et $r = \mu_0 + \kappa\sigma_0$.

Postulat (P1) : La probabilité d'observer un échantillon distribué selon \mathcal{H}_1 est nulle sur le domaine de troncature : $F_1(r) = F_1(l) = 0$

Expression des quartiles $q_{i,t}$ de la loi tronquée (d'après P1)

$$\underbrace{\frac{i}{4} = F_t(q_{i,t})}_{\text{données tronquées}} = \frac{F_0(q_{i,t}) - F_0(l)}{F_0(r) - F_0(l)} = \frac{F_0(q_{i,t}) - F_0(l)}{\underbrace{1 - 2F_0(l)}}_{\text{loi paramétrique } F_0 \text{ non tronquée}}, \quad (3)$$

Equations du point fixe

On a les équations suivantes :

$$\mu_0 = q_{2,t} \text{ et } \sigma_0 = \frac{q_{3,t} - q_{1,t}}{\lambda_\kappa} \quad (4)$$

avec

→ $\lambda_\kappa = 2\Phi^{-1}\left(\frac{1}{2}\left(\frac{1}{2} + \Phi(\kappa)\right)\right)$ qui est une constante

→ $q_{1,t}$, $q_{2,t}$ et $q_{3,t}$ qui dépendent de μ_0 , σ_0 et Φ

Ce qui donne des équations du point fixe (μ_0, σ_0) :

$$\mu_0 = g_1(\mu_0, \sigma_0) = q_{2,t}, \quad (5)$$

$$\sigma_0 = g_2(\mu_0, \sigma_0) = (q_{3,t} - q_{1,t}) / \lambda_\kappa, \quad (6)$$

Algorithme

Entrées : ensemble des données $I = \{x_1, \dots, x_N\}$, facteur de troncature κ

$\mu_0^0 \leftarrow$ médiane empirique(I)
 $\sigma_0^0 \leftarrow$ écart-type empirique(I)
 $k \leftarrow 0$

while (μ_0^k, σ_0^k) n'a pas convergé **do**

$k \leftarrow k + 1$

$I_k \leftarrow \{x_i : |x_i - \mu_0^{k-1}| \leq \kappa \sigma_0^{k-1}\}$

$\mu_0^k \leftarrow$ médiane(I_k)

$q_{1,t} \leftarrow$ quartile(I_k , 25%)

$q_{3,t} \leftarrow$ quartile(I_k , 75%)

$\sigma_0^k \leftarrow (q_{3,t} - q_{1,t})/\lambda_\kappa$.

Sorties : μ_0^k, σ_0^k

Convergence de l'algorithme

- difficile d'établir théoriquement les conditions de convergence dans le cas où μ_0 et σ_0 sont inconnus,
- si σ_0 fixée, $(\mu_0^k)_k =$ suite monotone et bornée, donc convergente,
- par construction μ_0 et σ_0 peuvent prendre un nombre fini de valeurs, et en pratique il arrive parfois qu'on observe un cycle d'ordre 1 pour (μ_0^k, σ_0^k) ,
- dans ce cas : σ_0 est fixé à la valeur la plus élevée du cycle (valeur la + conservative au sens du test d'hypothèse), et μ_0 est ensuite mis à jour seul.

Consistance des estimateurs

→ \bar{F} converge uniformément vers F quand $N \nearrow$,

→ dans le cas gaussien, sous (P1), $g(\mu_0, \sigma_0) = (g_1(\mu_0, \sigma_0), g_2(\mu_0, \sigma_0))$ est contractante au voisinage du point fixe,

→ l'approximation empirique de $g(\mu_0, \sigma_0)$ converge vers (μ_0, σ_0) .

Données synthétiques

Données proposées dans [Schwartzman 2008] :

- 1000 cubes de taille $64 \times 64 \times 64$ contenant un champ aléatoire gaussien,
- données i.i.d. $\mathcal{N}(0, 1)$ convoluées par un noyau gaussien de $\sigma = 1.5$,
- décalage et mise à l'échelle du champ gaussien afin que $\mu_0 = 0.2$ et $\sigma_0 = 1.2$,
- ajout d'un signal constant $\beta = 3$ dans un sous cube de taille $T \times T \times T$ (\mathcal{H}_1)
- $\pi_0 = 1 - \frac{T^3}{64^3}$

Données synthétiques

Données proposées dans [Schwartzman 2008] :

- 1000 cubes de taille $64 \times 64 \times 64$ contenant un champ aléatoire gaussien,
- données i.i.d. $\mathcal{N}(0, 1)$ convoluées par un noyau gaussien de $\sigma = 1.5$,
- décalage et mise à l'échelle du champ gaussien afin que $\mu_0 = 0.2$ et $\sigma_0 = 1.2$,
- ajout d'un signal constant $\beta = 3$ dans un sous cube de taille $T \times T \times T$ (\mathcal{H}_1)
- $\pi_0 = 1 - \frac{T^3}{64^3}$

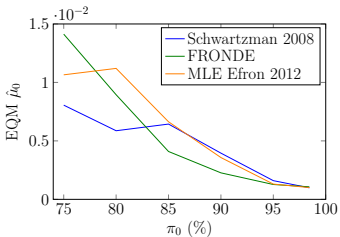
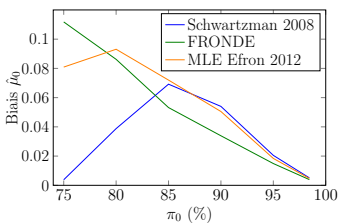
Comparaison des performances :

- σ -clipping par point fixe (FRONDE),
- ajustement du mode central avec une régression de Poisson ([Schwartzman 2008]),
- ajustement au sens du maximum de vraisemblance à la distribution des données tronquées (MLE, [Efron 2012]).

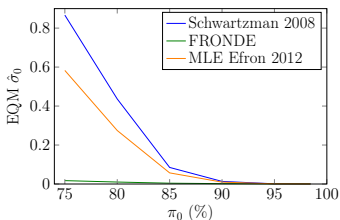
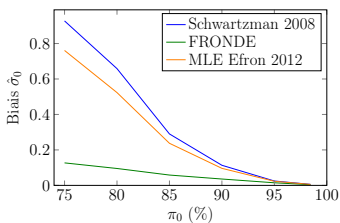
Influence de la proportion π_0

Proportion de données conservées dans la troncature : 80%

Estimateurs de la moyenne μ_0



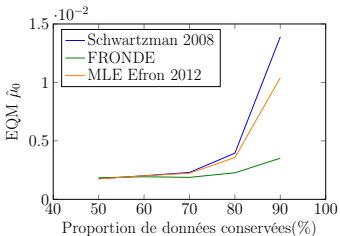
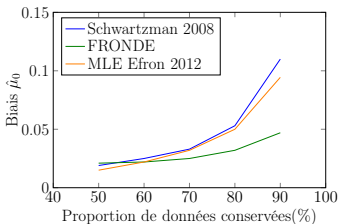
Estimateurs de l'écart-type σ_0



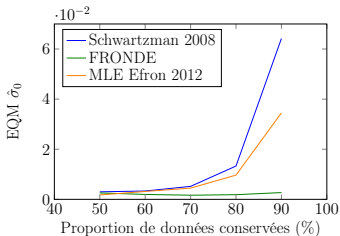
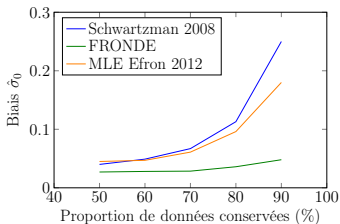
Influence de la proportion de données conservées dans la troncature

Proportion de données sous $\mathcal{H}_0 : \pi_0 = 90\%$

Estimateurs de la moyenne μ_0



Estimateurs de l'écart-type σ_0



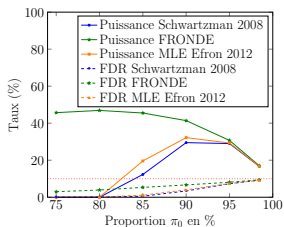
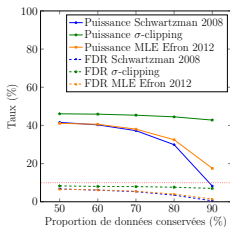
Plan de la présentation

1. Introduction
2. Tests multiples et contrôle des erreurs
3. Apprentissage de la loi des données
- 4. Conclusion**

Quelques mots pour la fin...

Récapitulatif : pourquoi cette méthode ?

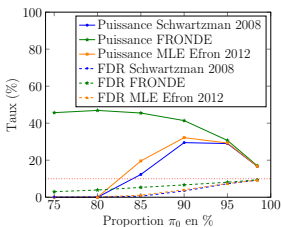
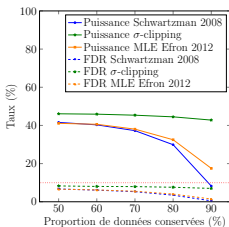
- Calcul des p-valeurs : nécessité d'avoir une estimation précise et robuste de \mathcal{H}_0
- Exemple du contrôle du FDR :



Quelques mots pour la fin...

Récapitulatif : pourquoi cette méthode ?

- Calcul des p-valeurs : nécessité d'avoir une estimation précise et robuste de \mathcal{H}_0
- Exemple du contrôle du FDR :



Code disponible :

- implémentation python : <https://github.com/raphbacher/fronde-py>
- implémentation matlab : <https://github.com/raphbacher/fronde-matlab>